

III-134 地盤の側方流動について

京都大学防災研究所 正員 柴田徹文
 清水達設 正員 井伊遠之
 京都大学防災研究所 正員 ○ 大原正紀

1. 研究の目的

粘土地盤上の局部載荷による地盤の沈下は、粘土の圧密による沈下の他に、粘土が側方へ流動することによる沈下が加算される。このような地盤の挙動を解析するためには、粘土の応力～ひずみ関係の非線形性、時間依存性などを考慮に入れた三次元的解析が必要であるが、現在このような解析は十分に行なれていかない。本文では、このような問題を解析する手始めとして、土槽を用いた模型地盤の載荷試験を行ない、地盤内の側方移動量および地盤表面の盛り上がり量に注目して、地盤の挙動を観察すると同時に、この地盤と同じ境界条件で解いた弾性理論解と比較する。こうした弾性理論解によれば地盤内の即時沈下を推定するうえに、三軸圧縮試験の結果を用ひて、弾性定数を決定する方法について述べる。

2. 試料および実験方法

実験に用いた試料の物性は、LL; 43.8%，PL; 25.4%，PI; 18.4% の練り返し粘土である。実験は図-1に示すような幅150cm, 高さ50cm, 対行さ 2K.5 cm の前面がガラス壁の土槽を用いた。槽内の粘土の挙動は、粘土内に埋めこんだアルミニウム製の標点の変位をガラス壁を通して写真撮影することにより求めた。実験は、表-1に示すように(I)～(III)短期載荷(非圧密)試験と長期載荷(圧密)試験を行なった。実験

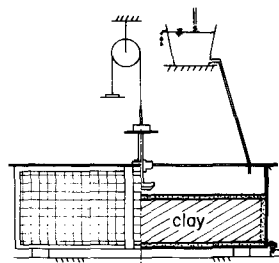


図-1. 土槽

実験	圧密条件	層厚(cm)	載荷幅(cm)	初期含水比
(I)	非圧密	40	30	52.1%
(II)	。	38	30	56.9
(III)	。	25	30	50.7
(IV)	圧密	20	15	50.5

表-1. 模型地盤の載荷条件

(I)～(III)の荷重～沈下～時間曲線を図-2に示す。実験(IV)における各荷重段階における載荷期間は約10日間である。また、粘土の強度定数を求めるために、同じ試料を用いて、圧密後排水状態で定ひずみ三軸圧縮試験(ひずみ速度0.25%/min.)を行なった。

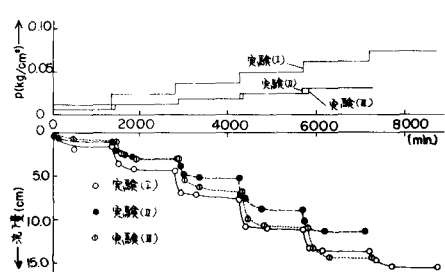


図-2. 荷重～沈下～時間曲線

3. 短期載荷試験にちける地盤の挙動と弾性理論解

弾性理論(=ひきずり計算)にちける(図-3)を示す

x , y 座標をとり、

$$y = 0 \text{ cm} \quad u = v = 0$$

$$y = h \text{ cm} \quad \bar{v}_{xy} = 0$$

$$\sigma_y = 0 \quad (|x| > a), \quad \sigma_y = P \quad (|x| \leq a)$$

の邊界条件を用い、 x 軸方向に1個周期を L とし

工数と1/2解いた。実際の計算にちける(図-3)は、本

アソニ比 λ を0.5、弾性定数 E は載荷板中央の沈下

量が実験より求めた値と等しくなるように決めた。土槽試験に得られた地盤内の変位、ひずみを1例と1/2実験(II)の $P = 12.8/cm^2$, $18.8/cm^2$ の場合について図示する。なお、繰り返し状態の材料につい2つ同じ含水比で

行なったベニ試験による粘着力

C は、約 $8.8/cm^2$ である。これ

より極限支持力 g_d と $\bar{g}_d = 5.14 C$

とすると P/g_d の値は P が

$12.8/cm^2$, $18.8/cm^2$ の場合、 $1/2$

ねじれ 0.29 , 0.44 である。図

-4(a), (b)にそれらの水平

変位、鉛直変位の等変位線を示す

。同時に上述した方法で計算した

弾性解を示す。各図中 γ は変位量は

いずれも載荷ゼロの状態を基準と

し、各荷重段階の変位を累加して

いくつも示してある。これら

の図から荷重強度が極限支持力よ

りかなり小さい範囲では、土槽仲

央の表面の沈下量を等しくすれば

、地盤内の変位は弾性解とみな

す。一致を示すことわかる。また、これを詳しく調べるために、地盤内の相対的位置関係を示す

ひずみ量——特に体積ひずみと最大せん断ひずみ——を比較することは有益である。ここで載荷

期間が短い場合、地盤内の体積変化はほとんど生じないと考え、体積ひずみのうち鉛直

ひずみの分布を弾性解とともに示す。これら2図より両者はかなり類似していることがわかる。ま

た、図-6(a), (b)に最大せん断ひずみの分布を弾性解とともに示す。これら2図より、最大

せん断ひずみの分布は若干弾性解と異なる傾向を示している。つまり、地盤のせん断変形は荷

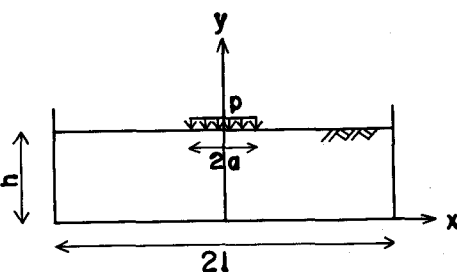


図-3. 弾性理論の計算条件

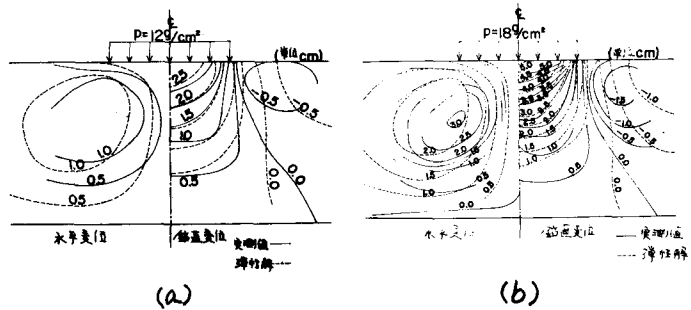


図-4. 等変位線(実験(II))

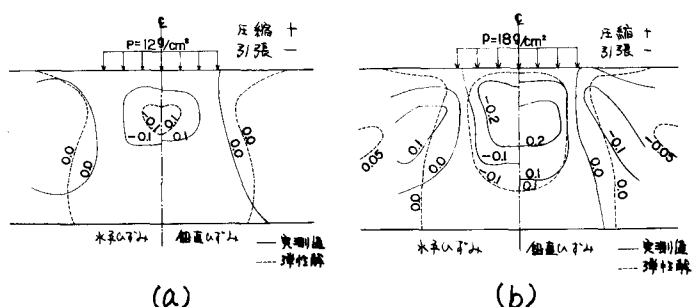


図-5. 等垂直ひずみ線(実験(II))

重端を中心とする円弧上には対数線に沿って土槽中央より進行し、
211(2)を示すものであり、荷重強度が地盤持力に近づくにつれて
塑性状態となり、最終的には下部に線となる地盤の破壊につながるものと見られる。図-7に実験(I)～(IV)における
地盤中央表面の沈下量 S_V に対する地盤内の最大水平変位 δ_H
および地盤表面の最大盛り上がり量 δ_U の比 δ_H/S_V , δ_U/S_V と
 $P/8d$ との関係を弹性解とともに示す。弹性解におけるものは、 δ_H/S_V
, δ_U/S_V は不アソニ比利、載荷枝の幅 $2a$ 、土槽の幅 $2l$ 、地盤の層厚 d に関する弹性定数 K 、また荷重強度 P には無関係である。図-6(a), δ_H/S_V は $0.4 \sim 0.6$, δ_U/S_V は $0.2 \sim 0.4$ である。これを弹性解で代表させると

ようさうである。以上、模型地盤の挙動と弹性理論と比較して、荷重強度が $1 \sim 3$ の範囲にあり、載荷初期の非圧密状態では両者はよく似ているが、載荷枝の剛性係数を決定するところにより、載荷枝中央の即時沈下量が弹性理論により推定されるが、載荷初期の地盤の剛性係数や盛り上がり量などの諸量も計算されるべきであると思われる。

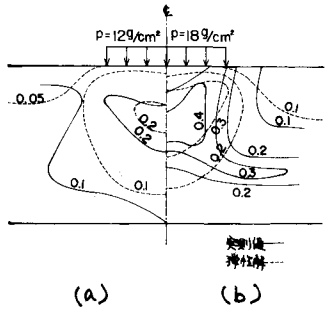


図-6. 等最大せん断ひずみ線(実験(II))

実験値 弹性解

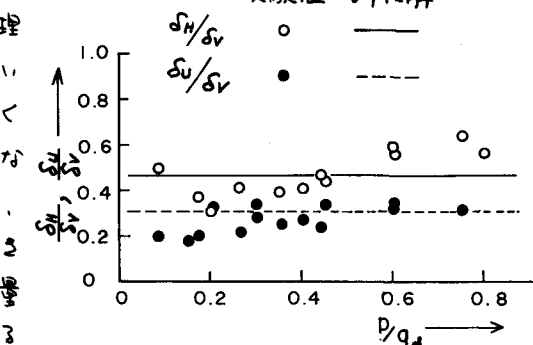


図-7. δ_H/S_V , δ_U/S_V ~ $P/8d$ 図

4. 長期載荷試験と即時沈下量の推定

前節で粘土の適当な強度試験を行なう、弹性定数を決定し、弹性理論から載荷枝の即時沈下量を推定すれば、他の地盤の挙動も計算することができるること述べた。ここでは、三輪式縮小試験の結果を用いた即時沈下量の推定について述べる。正規圧密状態にあける粘土地盤を弾性体とみなすとき、この弾性定数は圧密圧力により大きくなるべく、実験(I)～(IV)では非圧密載荷による $2 \sim 3$ 倍の圧密圧力が明確でなく、弾性定数の決定が困難である。そこで、よりよろしく困難を取り除くために、実験(IV)ではより高い 100 kg/cm^2 の模型地盤を圧密し、一次圧密が終了した後に排水状態で載荷試験を行なった。載荷枝の沈下は、載荷初期に約 $3 \sim 4$ センチ地盤の非圧縮的なせん断変形による即時沈下と、その後の地盤の圧密によるせん断クリーフ現象による経時沈下とに分けるべきである。これは、即時沈下について述べる。図-8に示すように、

沈下量へ時間曲線の直線部分を原点に向かって延長し、 $t=0$ 軸と交点の沈下量を即時沈下量とする。このようにして求めた実験(IV)の各荷重段階における即時沈下量を表-2の(4)欄に示す。同表中(4)は載荷前の圧密圧力に、(4)の前段階までの荷重強度を加えておりである。これは載荷圧の増加により、沈下量の実測値は載荷圧の増

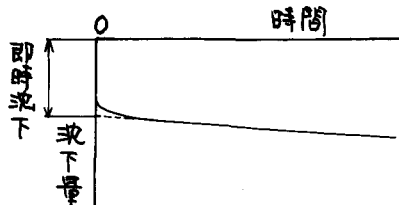


図-8. 沈下量～時間曲線(模式圖)

分によるものと示した。たゞ

- ・実験(TP)の第1段階にあり
2-1は、載荷板成「地盤」に十分に
密着しない場合、 $\gamma_1 = 0$ で、
2-2は省略した。 \equiv 動圧縮試
験より求めた弹性定数を用い

(1)	(2)	(3)	(4)	(5)	(6)
実験(JV)	Tc	ΔP	実測値	計算値	(cm)
	(g/cm³)	(g/cm²)	(cm)	$E_1 = 0.3\%$	$E_1 = 2.5\%$
第2段階	117	18	0.115	0.007	0.041
・3	135	35	0.086	0.012	0.069
・4	170	34	0.068	0.010	0.053

表-2. 長期載荷試験の結果と弾性理論との比較

論より計算することは多く研究者により提案されてゐる。

が、弾性定数の決定が困難である。これを除くと、図-91に示すところ三輪圧縮試験の結果より、 $S/(T_1 - T_3) / T_c \sim \varepsilon_1$ 曲線が直線とみなせる最大のひずみの点 $\varepsilon_1 = 0.3\%$ と試料が降伏したときの値をとると $\varepsilon_1 = 2.5\%$ の点を通る割線弾性定数を用いて計算した結果をとれども、表-29(5), (6)欄に示す。表の(4)欄と(5), (6)欄を比較すると、(6)欄より(5)欄よりも得られた応力へひずみ関係は近い。 $\varepsilon_1 = 2.5\%$ の点、すなわち、試料が降伏し始める値が得られることがわかる。

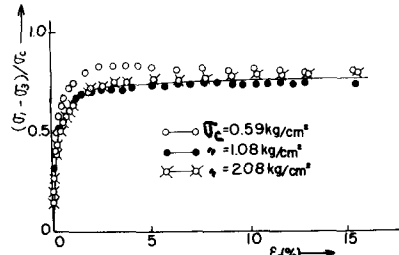


図-9. 心力～ \dot{V} 関係曲線(三軸試験)

5. 組合せ

上に述べた通り、この場合の統計的意味は、

- 1). 載荷初期の非圧密状態における地盤の挙動は、同様の境界条件で解いた弾性理論解と並んで3
3。
 - 2). 同じ条件のもとにあひて、載荷板の沈下量に対する最大側方移動量および盛り土量との比はこれで0.44～0.6 および0.2～0.4 で弾性解の値よりも2倍大きい。
 - 3). 即時沈下量を弾性理論で推定する際、今回の実験では、普通のひずみ速度(0.25%/min.)
より車在圧密試験の応力へひずみ関係にあひて、試料が降伏し始め3点の割合弾性定数を用いればよい。
本文においては、主と1)即時沈下に注目1)2)、地盤の挙動および弾性理論との関係に>112並び
2)き=1%、今後、地盤の経時的挙動とそれを表す理論的考察を行なうべき=1%。